

## Реферат

### **Компьютерное моделирование кинетического и гидродинамического приближения сложных статистических систем**

Перечень ключевых слов: нейтронное рассеяние, наносистемы и материалы, дифракция нейтронов, рентгеновская дифракция, нейтронная спектроскопия, камера высокого давления, импульсные источники нейтронов, конструкционные материалы, высокопрочные сплавы, нанотрубки, каркасно-нанокластерные бориды, углеволокно, высокотемпературные сверхпроводники, эластомеры. Объектами исследования и разработки в данной работе являются наносистемы и наноматериалы, твердые сплавы, функциональные материалы, в том числе каркасно-нанокластерные бориды, композиты из углеродных волокон, карбид кремния, высокотемпературные сверхпроводники нового поколения и родственные им соединения, моносилициды переходных металлов, сложные оксиды, кобальтиты.

Целью данной работы является получение новых знаний и результатов в области структурных и динамических свойств наносистем и наноматериалов, исследование наносистем и материалов методом рассеяния тепловых и эпитепловых нейтронов, рентгеновской дифракции, обеспечение научно-исследовательских работ, проводимых организациями Российской Федерации, с предоставлением им возможности использования методов научных исследований, разработанных или освоенных для уникальной установки – Нейтронного комплекса ИЯИ РАН.

Метод проведения работы: настоящая работа была выполнена при использовании нейтронных методик исследования конденсированных сред в сочетании с комплементарными рентгеновскими методами. Использовались нейтронная дифракция, нейтронная спектроскопия, рентгеновская дифракция, Мессбауэровская спектроскопия.

Результаты работы: На Нейтронном комплексе ИЯИ РАН, прочих нейтронных источниках, на рентгеновских дифрактометрах в ИЯИ РАН, на Мёссбауэровском спектрометре в ИЯИ РАН были исследованы структурные и динамические свойства материалов, в том числе наносистем, включающих в себя твердые сплавы с нановключениями, каркасно-кластерные бориды с высокими термоэлектрическими свойствами, высокотемпературные сверхпроводники нового поколения и родственные им системы, сложные оксиды на основе переходных металлов, композитные материалы на основе углеволокна для авиакосмических приложений, система углерод-кремний с высокими механическими качествами и химической стойкостью. Была проведена работа по дальнейшему совершенствованию экспериментальной базы Нейтронного комплекса ИЯИ РАН, предназначенной для нейтронной спектроскопии и нейтронной дифракции. В ходе работ по реализации задач этапа было привлечено в исследования по тематике Госконтракта несколько студентов и аспирантов.

Основные конструктивные, технологические и технико-эксплуатационные характеристики: все нейтронные установки Нейтронного комплекса ИЯИ РАН основаны на

методике регистрации нейтронов по времени пролета. Особенности источника являются относительно жесткий нейтронный спектр и возможность вариации длительности импульса. Важной для повышения эффективности измерений особенностью рентгеновского оборудования ИЯИ РАН является наличие позиционно-чувствительного детектора (imageplate).

Степень внедрения: степень внедрения результатов НИР будет выяснена после завершения работ по Госконтракту.

Рекомендации по внедрению или итоги внедрения результатов НИР: рекомендации по внедрению результатов НИР будут сделаны после завершения работ по Госконтракту. Область применения: исследуемые наносистемы и материалы будут применяться в энергетике, научном приборостроении, химической промышленности, авиакосмической промышленности, атомной энергетике.

Экономическая эффективность или значимость работы: оценка экономической эффективности и значимости работы будет сделана после завершения работ по Госконтракту.

Прогнозные предположения о развитии объекта исследования: прогнозные предположения будут сделаны после завершения работ по Госконтракту.

## Содержание

1	Введение . . . . .	6
2	Кинетическое описание полидисперсной системы . . . . .	10
2.1	Уравнения Больцмана . . . . .	10
2.2	Механика столкновений . . . . .	11
2.3	Интеграл столкновений . . . . .	13
2.4	Эволюция энергии системы . . . . .	13
3	Гидродинамическое описание системы . . . . .	14
3.1	Уравнения переноса . . . . .	14
3.2	Подсистема всякой ерунды . . . . .	15
3.2.1	Блок-схема всякой ерунды . . . . .	17
4	Технологический раздел . . . . .	18
5	Экспериментальный раздел . . . . .	20
	Заключение . . . . .	21
	Список использованных источников . . . . .	22
А	Картинки . . . . .	23
Б	Еще картинки . . . . .	24

## Глоссарий

**Распределённый** — Слово, которое нельзя употреблять. Но надо протестировать длинные строки в глоссарии.

## **Обозначения и сокращения**

**АИС** — Автоматизированная информационная система. Но надо протестировать длинные строки в определениях.

# 1 Введение

В природе гранулярная материя является одним из самых распространенных типов вещества, начиная от песка под нашими ногами, сахара для чая, различных порошков для строительства и техногенного производства, заканчивая космической пылью в аккреционных дисках зарождающихся звездных и галактических системах. Гранулярная материя характеризуется в основном диссипативными свойствами при контактном взаимодействии составных частиц. Частный случай гранулярных систем, так называемый *гранулярный газ*, является объектом интереса в нашей работе [1]. Под газообразной мы будем подразумевать систему в которой все контактные взаимодействия бинарные, т.е. в любой момент времени во всех взаимодействиях участвуют только два объекта, а тройные, четверные и т.д. взаимодействия исключены. Таким образом, подобная система может быть описана классическими уравнениями Больцмана-Энскога.

Объектом наших исследований являются кольца Сатурна. Данный выбор был неслучаен, и был стимулирован успехом масштабного проекта NASA, Европейского Космического Агентства и Итальянского Космического Агентства – миссия Кассини-Гюйгенс. В рамках этого проекта, 15 октября 1997 года, на орбиту вокруг Сатурна был отправлен космический исследовательский аппарат Кассини. Целью данной миссии было исследование планеты Сатурн, его колец и лун. На борту космического аппарата находилась автоматическая станция Гюйгенс, предназначенная для посадки на Титан, крупнейший из лун Сатурна. 1 июля 2004 года, комплекс вышел на орбиту вокруг Сатурна. 25 декабря 2004 года, станция Гюйгенс отделилась от основного комплекса и 14 января 2005 года вошла в атмосферу Титана. Изначально миссия была запланирована до 2008 года, однако была несколько раз продлена, и в итоге 15 сентября 2017 года космический аппарат Кассини завершил свою миссию, пролетев в непосредственной близости от колец и вошел в атмосферу Сатурна. Пример снимка сделанного аппаратом Кассини в 2009 году показан на Рис. 1.1. Весь масштаб данной миссии можно привести в виде статистических данных (Табл. 1.1).

Таблица 1.1 — Итоговая статистика миссии Кассини-Гюйгенс по окончании 20 летнего периода активности

Общая стоимость проекта	около 3,26 миллиард долларов США
Длительность миссии	19 лет, 335 дней
Объем полученных научных данных	635 Гб
Найдено новых лун	6 наименованных
Количество стран участниц	27 стран со всего мира
Опубликовано научных публикаций	3 948
Сделано снимков	453 048

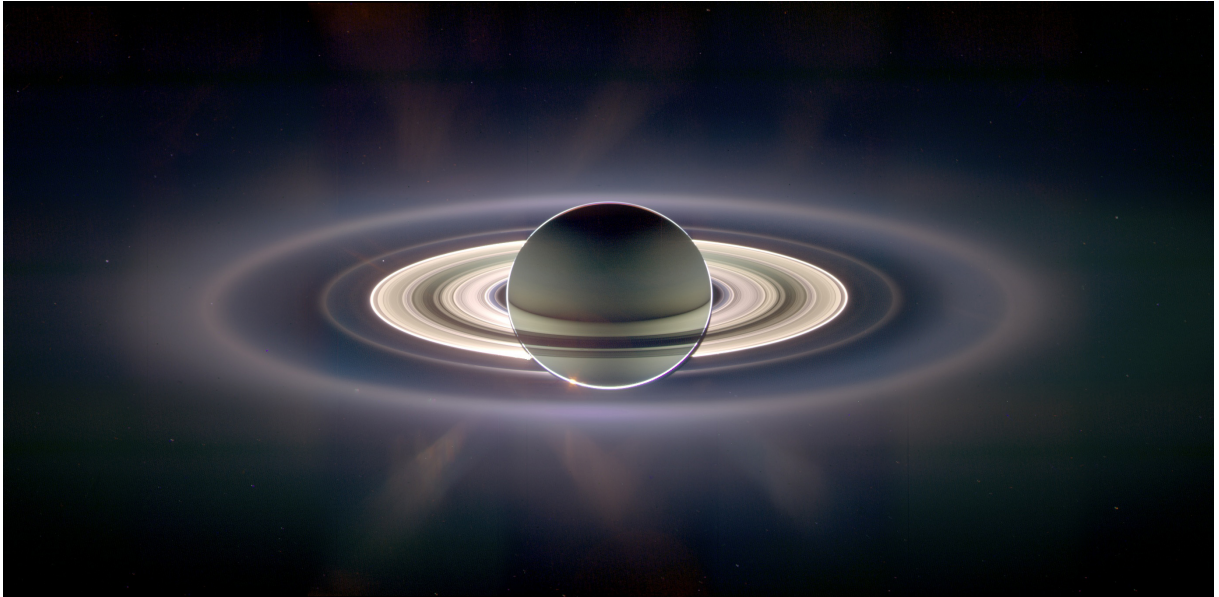


Рисунок 1.1 — Фотография Сатурна и его колец отправленная аппаратом Кассини в октябре 2009 года

Большая доля этих исследований посвящено изучению динамики и свойств колец Сатурна, которые являются ярким примером гранулярных газов в природе. Сами кольца состоят в основном из водяного льда и силикатных образований. Размеры частиц материала кольца составляют от микрометров до нескольких десятков метров. Объекты больших размеров, от нескольких сот метров до километров и более, классифицируются уже как отдельные луны Сатурна. Некоторые из подобных лун, как Пан и Дафнис (которые были обнаружены аппаратом Кассини), вращаются вокруг Сатурна на орбитах, находящихся внутри самих колец, имеют свое гравитационное поле которое серьезно воздействует на динамику мелких объектов кольца. Однако в нашей работе мы ограничимся системами, размеры составляющих частиц которых не превышают порядка нескольких метров. В этом случае можно исключить из рассмотрения гравитационные взаимодействия и сконцентрироваться только на контактных, механических взаимодействиях при описании динамики гранулярного газа.

Для простоты описания механики столкновения частиц газа, будем рассматривать их как сферические объекты с заданными параметрами как масса  $m$ , радиус  $r$ , модуль Юнга  $Y$ , коэффициент Пуассона  $\eta$ , поверхностная энергия (адгезивность)  $\gamma$ , коэффициент вязкой диссипации  $A$ . Обозначенные выше параметры будут использованы для построения компьютерной модели столкновений, однако для теоретического описания системы все механические свойства объединены в единый параметр, так называемый *коэффициент реституции* —  $\varepsilon$ . Для описания динамики сухих гранулярных газов, коэффициент реституции играет ключевую роль, и показывает количество диссипированной энергии при столкновениях. Математически описывается следующим образом:

$$g'_{12} = -\varepsilon g_{12} , \quad (1.1)$$

где  $g_{12}$  – относительная скорость частиц 1 и 2 до столкновения,  $g'_{12}$  – относительная скорость после столкновения. Коэффициент реституции в общем случае всегда лежит в пределах  $0 \leq \varepsilon \leq 1$ . При  $\varepsilon = 0$  – мы имеем абсолютно неупругое столкновение, при  $\varepsilon = 1$  – абсолютно упругое столкновение. В данной работе мы будем рассматривать только сухие гранулярные системы, т. е. такие системы для которых коэффициент адгезивности  $\gamma = 0$ . Таким образом, контактные взаимодействия частиц можно полностью описать двумя параметрами:  $\sigma$  – линейный размер частицы, который характеризует массу ( $m \propto \sigma^3$ ), и т.д., и  $\varepsilon$  – коэффициент реституции, который описывает диссипативные свойства материала частицы. Мы будем предполагать, что материал частиц везде единообразен, и для всех столкновений  $\varepsilon$  будет одинаковый.

Основным свойством гранулярного газа является его диссипативность, и как результат его *гранулярная температура* имеет свойство всегда уменьшаться, т.е. предоставленный самому себе гранулярный газ, всегда будет *охлаждаться*. Данное явление носит название закона Хаффа:

$$T(t) = \frac{T_0}{(1 + t/\tau_0)^2}, \quad (1.2)$$

где

$$\tau_0^{-1} \propto n\sigma^2 (1 - \varepsilon^2) \sqrt{T_0}. \quad (1.3)$$

Таким образом, если в систему не подводить внешний источник энергии, то со временем гранулярный газ придет к состоянию с нулевой энергией. Здесь мы коротко упомянули понятие гранулярной температуры, по аналогии с температурой обычных систем, однако оно не является температурой материала частицы в обычном понимании. Более детально мы рассмотрим ее в основной части работы.

Следующим важным моментом является *полидисперсность* системы. До этого мы считали что все частицы в газе одинакового размера, однако в реальных системах планетарных колец, размеры частиц очень сильно варьируются. Данное свойство привносит в систему один существенный эффект: если рассматривать полидисперсную систему как смешение большого количества монодисперсных гранулярных газов с различными размерами, то парциальная температура каждого из этих газов становится отличной друг от друга. Чем больше разница между размерами частиц этих монодисперсных газов, тем больше их разница в гранулярной температуре. Конечно, без внешнего источника энергии, все эти температуры со временем сравняются и станут нулевыми. Однако планетарные кольца находятся в центральном гравитационном поле своей планеты, и на самом деле являются дисками с дифференциальным вращением, и гранулярная система подпитывается за счет гравитационной энергии своей планеты. Более подробно мы остановимся на данном явлении в основной части работы. Здесь же, укажем что за счет данной подкачки энергии, температуры всех отдельных частей системы остановятся на определенном и различном стационарном значении, что является одним из результатов нашей работы. А также, мы покажем что подобная разница в стационарных температурах системы, оказывает влияние



на радиальное распределение размеров частиц друг относительно друга. Данный эффект неодинакового распределения частиц по размерам относительно центрального поля хорошо виден на Рис. 1.2.

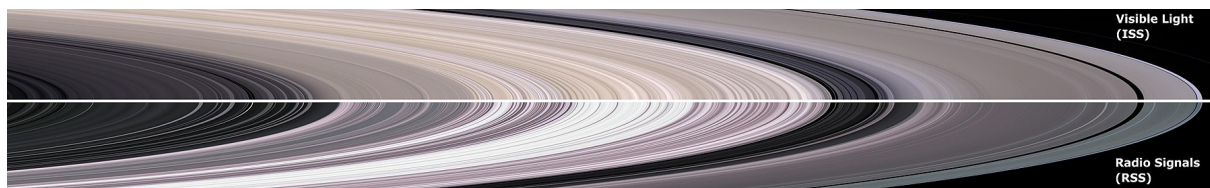


Рисунок 1.2 — Фотография колец Сатурна в радиальном срезе. Верхняя часть показана в оптическом диапазоне, нижняя в радиоволновом диапазоне, где цвета соотнесены с размерами частиц

## 2 Кинетическое описание полидисперсной системы

Для статистического описания неравновесной системы, мы будем исходить из кинетических уравнений Больцмана. Перед этим нам необходимо определить фазовое пространство в котором происходит эволюция динамики отдельно взятой частицы, а также более детально рассмотреть механику столкновений для составления интегралов столкновений.

### 2.1 Уравнения Больцмана

Рассмотрим весь газ как смесь из однородных газов, массы частиц в которых обозначим через  $m$ . Пусть  $N_m$  будет количеством частиц массы  $m$  в системе. Если общее количество частиц равно  $N$ , то

$$\eta_m = \frac{N_m}{N} , \quad (2.1)$$

относительное количество частиц массы  $m$  в полной системе. Учитывая что количество частиц в планетарных кольцах огромно, так же как и разновидность частиц по массе, то мы можем ввести функцию распределения особей в системе по массам как

$$\eta(m) = \lim_{N \rightarrow \infty} \frac{N(m)}{N} , \quad (2.2)$$

либо

$$\int \eta(m) dm = 1 . \quad (2.3)$$

Здесь следует отметить, что как видно из 2.3,  $\eta(m) \rightarrow 0$  при  $m \rightarrow \infty$ , что согласовывается с реальными наблюдениями. Таким образом, масса частицы  $m$  будет показывать род подсистемы как непрерывная переменная.

Динамика отдельно взятой частицы массы  $m$  описывается его векторами координат  $\mathbf{r}$  и скоростей  $\mathbf{v}$  в фазовом пространстве. В этом фазовом пространстве введем функцию распределения  $f(t, m, \mathbf{r}, \mathbf{v})$  которое имеет следующее важное свойство:

$$dN(t, m, \mathbf{r}, \mathbf{v}) = f(t, m, \mathbf{r}, \mathbf{v}) d\mathbf{v} , \quad (2.4)$$

где  $dN(t, m, \mathbf{r}, \mathbf{v})$  – функция числа частиц локализованных вокруг координаты  $\mathbf{r}$  и имеющих скорости в диапазоне от  $\mathbf{v}$  до  $\mathbf{v} + d\mathbf{v}$ . Так как газообразные системы являются разреженными, то макропараметры системы могут быть определены как некие интегралы от одночастичной функции распределения.

Нулевой момент дает нам функцию количественной плотности частиц

$$n(t, m, \mathbf{r}) = \int f(t, m, \mathbf{r}, \mathbf{v}) d\mathbf{v} , \quad (2.5)$$

либо функцию плотности масс

$$\rho(t, m, \mathbf{r}) = mn(t, m, \mathbf{r}) = \int mf(t, m, \mathbf{r}, \mathbf{v}) d\mathbf{v} , \quad (2.6)$$

и так далее. Более подробно макропараметры системы будут описаны при гидродинамическом описании системы. Здесь же мы видим что параметры системы нестационарны и зависят от времени  $t$ , тогда как сама эволюция функции распределения по времени подчиняется уравнению Больцмана:

$$\frac{\partial f}{\partial t} + \mathbf{v} \frac{\partial f}{\partial \mathbf{r}} + \mathbf{w} \frac{\partial f}{\partial \mathbf{v}} = I_c(t, m, \mathbf{r}, \mathbf{v}) , \quad (2.7)$$

где  $I_c(t, m, \mathbf{r}, \mathbf{v})$  – полный интеграл столкновений,  $\mathbf{w}$  – ускорение частицы под воздействием внешних сил. Полный интеграл столкновений пишется через бинарный интеграл столкновений как:

$$I_c(t, m, \mathbf{r}, \mathbf{v}) = \int \eta(m') I_c(t, m', m, \mathbf{r}, \mathbf{v}) dm' . \quad (2.8)$$

Для нахождения точной формы интегралов столкновений необходимо более подробно изучить механику самих столкновений частиц.

## 2.2 Механика столкновений

Везде в дальнейшем мы будем предполагать, что все частицы в газе являются абсолютно сферическими и однородными, с одинаковыми коэффициентами реституции  $\varepsilon$ . При столкновении двух таких частиц, закон сохранения импульса запишется как:

$$m_i \mathbf{v}_i + m_j \mathbf{v}_j = m_i \mathbf{v}'_i + m_j \mathbf{v}'_j , \quad (2.9)$$

где знаками штриха ' обозначены скорости частиц после столкновения. Обмена массами и прилипания не происходит по условию задачи. Для гранулярных газов закон сохранения энергии (механической) нарушается, а изменение относительных скоростей задается как:

$$\mathbf{g}'_n = -\varepsilon \mathbf{g}_n , \quad (2.10)$$

где  $\mathbf{g} = \mathbf{g}_{ij} = \mathbf{v}_i - \mathbf{v}_j$ , а  $\mathbf{g}_n$  – является нормальной составляющей относительной скорости. Определим нормальное направление столкновения как проходящей через центры сталкивающихся частиц в момент столкновения, и введем вектор нормали:

$$\mathbf{n} = \mathbf{n}_{ij} = \frac{\mathbf{r}_i - \mathbf{r}_j}{\sigma_i - \sigma_j} , \quad (2.11)$$

где  $\mathbf{r}_i, \mathbf{r}_j$  – координаты частиц в момент столкновения. Далее запишем изменение относительных скоростей следующим образом:

$$(\mathbf{g}' \cdot \mathbf{n}) \mathbf{n} = -\varepsilon (\mathbf{g} \cdot \mathbf{n}) \mathbf{n} , \quad (2.12)$$

и подставляя в (2.9) получаем скорости частиц после столкновения:

$$\begin{aligned} \mathbf{v}'_i &= \mathbf{v}_i - \frac{\mu}{m_i} (1 + \varepsilon) (\mathbf{g} \cdot \mathbf{n}) \mathbf{n} , \\ \mathbf{v}'_j &= \mathbf{v}_j + \frac{\mu}{m_j} (1 + \varepsilon) (\mathbf{g} \cdot \mathbf{n}) \mathbf{n} , \end{aligned} \quad (2.13)$$

где  $\mu = \mu_{ij} = \frac{m_i m_j}{m_i + m_j}$  – эффективная масса столкновения. Здесь следует иметь ввиду что вектор  $\mathbf{n}$  свободен и не зависит от значений скоростей.

Рассмотрим теперь изменение импульса частицы после столкновения:

$$\delta \mathbf{p}_i = -\delta \mathbf{p}_j = \pm \mu(1 + \varepsilon)(\mathbf{g} \cdot \mathbf{n})\mathbf{n} . \quad (2.14)$$

Знак переноса импульса зависит от взаимной конфигурации векторов  $\mathbf{g}$  и  $\mathbf{n}$ , однако полное изменение импульса конечно же  $\delta \mathbf{p}_i + \delta \mathbf{p}_j = 0$ .

Теперь рассмотрим изменение кинетической энергии после столкновения:

$$\begin{aligned} \delta E_i &= \frac{m_i \mathbf{v}_i'^2}{2} - \frac{m_i \mathbf{v}_i^2}{2} = -\mu(1 + \varepsilon)(\mathbf{g} \cdot \mathbf{n})(\mathbf{v}_i \cdot \mathbf{n}) + \frac{\mu^2}{2m_i}(1 + \varepsilon)^2(\mathbf{g} \cdot \mathbf{n})^2 , \\ \delta E_j &= \frac{m_j \mathbf{v}_j'^2}{2} - \frac{m_j \mathbf{v}_j^2}{2} = +\mu(1 + \varepsilon)(\mathbf{g} \cdot \mathbf{n})(\mathbf{v}_j \cdot \mathbf{n}) + \frac{\mu^2}{2m_j}(1 + \varepsilon)^2(\mathbf{g} \cdot \mathbf{n})^2 , \end{aligned} \quad (2.15)$$

или перейдя в систему отсчета центра масс со скоростью  $M\mathbf{v}_C = m_i \mathbf{v}_i + m_j \mathbf{v}_j$ , где  $M = M_{ij} = m_i + m_j$ , получим:

$$\begin{aligned} \mathbf{v}_i &= \mathbf{v}_C + \frac{\mu}{m_i} \mathbf{g} , \\ \mathbf{v}_j &= \mathbf{v}_C - \frac{\mu}{m_j} \mathbf{g} , \end{aligned} \quad (2.16)$$

и соответственно

$$\begin{aligned} \delta E_i &= -\mu(1 + \varepsilon)(\mathbf{g} \cdot \mathbf{n})(\mathbf{v}_C \cdot \mathbf{n}) - \frac{1 - \varepsilon^2}{2} \frac{\mu^2}{m_i} (\mathbf{g} \cdot \mathbf{n})^2 , \\ \delta E_j &= +\mu(1 + \varepsilon)(\mathbf{g} \cdot \mathbf{n})(\mathbf{v}_C \cdot \mathbf{n}) - \frac{1 - \varepsilon^2}{2} \frac{\mu^2}{m_j} (\mathbf{g} \cdot \mathbf{n})^2 . \end{aligned} \quad (2.17)$$

Как видим, первые члены в правой части уравнений одинаковы и противоположны в знаках. Это означает что данная часть кинетической энергии передается от одной частицы к другой, и остается в самой системе, не диссипируя. Вторые же члены как мы видим всегда отрицательны и при разных массах  $m_i \neq m_j$  также отличны друг от друга. Именно эта часть отвечает за диссипацию энергии в системе, и диссипация тем больше чем меньше коэффициент реституции  $\varepsilon$ , т.е. чем менее упругим будет столкновение, что вполне ожидаемо. Однако, как мы видим, диссипация также зависит и от массы самой частицы, и чем *меньше* масса частицы, тем *больше* потери энергии:

$$\left( \frac{\delta E_i}{\delta E_j} \right)_{diss} = \frac{m_j}{m_i} . \quad (2.18)$$

Именно этот эффект приводит к нарушению равномерного распределения энергии в полидисперсной системе гранулярных газов, что в свою очередь приводит к неодинаковости гранулярных температур подсистем. Полная потеря энергии при столкновении равна

$$\delta E_i + \delta E_j = -\frac{1 - \varepsilon^2}{2} \mu (\mathbf{g} \cdot \mathbf{n})^2 . \quad (2.19)$$

### 2.3 Интеграл столкновений

После описания механики столкновений, перейдем к самому виду интеграла столкновений в (2.7). В общем виде интеграл столкновений для гранулярных газов имеет вид:

$$I_c(t, m_i, \mathbf{r}, \mathbf{v}_i) = \int dm_j g_2(\sigma_{ij}) \eta(m_j) \sigma_{ij}^{D-1} \int d\mathbf{v}_j \int d\mathbf{n} \Theta(-\mathbf{g} \cdot \mathbf{n}) |\mathbf{g} \cdot \mathbf{n}| \times \\ \times \left( \frac{1}{\varepsilon^2} f(t, m_i, \mathbf{r}, \mathbf{v}_i'') f(t, m_j, \mathbf{r}, \mathbf{v}_j'') - f(t, m_i, \mathbf{r}, \mathbf{v}_i) f(t, m_j, \mathbf{r}, \mathbf{v}_j) \right), \quad (2.20)$$

где  $\sigma_{ij} = \sigma_i + \sigma_j$  – расстояние между центрами частиц,  $g_2(\sigma_{ij})$  – параметр Энскога, который учитывает разницу в координатах центров частиц во время столкновений, который мы примем равным единице  $g_2(\sigma_{ij}) = 1$ ,  $\Theta(x)$  – функция Хевисайда, которая включена для того чтобы учитывать только те соотношения скорости, при которых они сближаются,  $\mathbf{v}_i''$ ,  $\mathbf{v}_j''$  – скорости обратных столкновений,  $D$  – размерность системы. По смыслу, интеграл столкновений показывает изменения в функции распределения за счет столкновений частиц. Интеграл столкновений имеет одно важное свойство, а именно, если взять некую динамическую функцию системы  $\psi_i(\mathbf{v}_i)$ , и ее изменение после прямого столкновения записать как  $\Delta\psi_i(\mathbf{v}_i) = \psi_i(\mathbf{v}_i') - \psi_i(\mathbf{v}_i)$ , то получим:

$$\frac{d}{dt} \langle \psi_i(\mathbf{v}_i) \rangle_c = \int \psi_i(\mathbf{v}_i) \frac{\partial f_i}{\partial t} d\mathbf{v}_i = \int \psi_i(\mathbf{v}_i) I_c(t, m_i, \mathbf{r}, \mathbf{v}_i) d\mathbf{v}_i = \\ = \int dm_j \eta(m_j) \sigma_{ij}^{D-1} \int d\mathbf{v}_i d\mathbf{v}_j \int d\mathbf{n} \Theta(-\mathbf{g} \cdot \mathbf{n}) |\mathbf{g} \cdot \mathbf{n}| \times \\ \times f(t, m_i, \mathbf{r}, \mathbf{v}_i) f(t, m_j, \mathbf{r}, \mathbf{v}_j) \Delta\psi_i(\mathbf{v}_i). \quad (2.21)$$

Это свойство интеграла столкновения мы будем использовать в дальнейшем при описании эволюции энергии всей системы в целом.

### 2.4 Эволюция энергии системы

Для того чтобы оценить изменение энергии всей системы в целом за счет столкновений, возьмем функцию кинетической энергии частицы как  $\psi_i(\mathbf{v}_i) = \frac{m_i v_i^2}{2}$ , а вместо  $\Delta\psi_i(\mathbf{v}_i) = \delta E_i$  из уравнения (2.17) и подставим в (2.21). В итоге получаем:

$$\int \frac{m_i v_i^2}{2} I_c(t, m_i, \mathbf{r}, \mathbf{v}_i) d\mathbf{v}_i = \int dm_j \eta(m_j) \sigma_{ij}^{D-1} \int d\mathbf{v}_i d\mathbf{g} \int d\mathbf{n} \Theta(-\mathbf{g} \cdot \mathbf{n}) |\mathbf{g} \cdot \mathbf{n}| \times \\ \times f(t, m_i, \mathbf{r}, \mathbf{v}_i) f(t, m_j, \mathbf{r}, \mathbf{v}_j) \delta E_i(\mathbf{v}_i, \mathbf{g}), \quad (2.22)$$

здесь мы сделали замену переменных  $d\mathbf{v}_i d\mathbf{v}_j = d\mathbf{v}_i d\mathbf{g}$ . Для дальнейшего продвижения, нам необходимо знать вид самой функции распределения.

### 3 Гидродинамическое описание системы

Перейдем теперь к более грубому, гидродинамическому описанию системы. Для начала нужно определить возможность такого перехода в рассматриваемой нами системе. Через  $L$  обозначим линейный размер всей системы в целом. Для кинетического описания нам было достаточно что линейные размеры частиц  $\sigma$  были намного меньше размера всей системы, т.е. выполнение условия  $\sigma \ll L$ . Соответственно все кинетические уравнения пишутся на уровне детализации  $\sigma$ . Однако гидродинамическое описание происходит на другом уровне, который мы обозначим  $\ell$ , и который удовлетворяет условию  $\sigma \ll \ell \ll L$ . Если мы можем вести изучение системы в таком масштабе, то можно говорить что мы рассматриваем систему в гидродинамическом приближении. Линейные размеры колец Сатурна, т.е. ширина колец, растягивается примерно на  $L \sim 66000$  км, в то время как размеры самих частиц варьируются в пределах  $\sigma \sim 10^{-2} \div 10^2$  см. Отсюда хорошо видно что можно подобрать такое значение  $\ell \sim 1 \div 2$  км, в пределах которого гидродинамическое описание системы будет вполне оправдано. Таким образом, в дальнейшем мы можем говорить что в пределах  $\ell$  вокруг координаты  $\mathbf{r}$  находится достаточно большое количество частиц, по которым можно определить макропараметры системы в зависимости от самой координаты  $\mathbf{r}$ . Перейдем к непосредственным определениям самих макропараметров, необходимых для полного гидродинамического описания системы, и написанию уравнений переноса этих параметров.

#### 3.1 Уравнения переноса

Зная функцию распределения, можно вводить пространственно распределенные параметры, описывающие систему в целом, а не через отдельно взятые частицы. Такие параметры называются макропараметрами системы. Мы будем вводить их как моменты вектора скорости частиц  $\mathbf{v}$ . Так, нулевой момент, как мы уже ранее определили, дает нам функцию числовой плотности:

$$n(t, m, \mathbf{r}) = \int f(t, m, \mathbf{r}, \mathbf{v}) d\mathbf{v} , \quad (3.1)$$

либо функцию плотности масс

$$\rho(t, m, \mathbf{r}) = mn(t, m, \mathbf{r}) = \int m f(t, m, \mathbf{r}, \mathbf{v}) d\mathbf{v} . \quad (3.2)$$

Данная функция читается так:  $\rho(t, m, \mathbf{r})$  – это масса в единичном объеме участка кольца в координате  $\mathbf{r}$  во время  $t$ , при этом масса вещества данного участка кольца равна  $m$ . Остальные параметры имеют схожий физический смысл.

Первый момент по скорости дает нам функцию плотности импульса

$$\rho \mathbf{u}(t, m, \mathbf{r}) = \int m \mathbf{v} f(t, m, \mathbf{r}, \mathbf{v}) d\mathbf{v} , \quad (3.3)$$

где  $\mathbf{u}$  – дает нам среднюю скорость участка кольца. Введем понятие локальной скорости частиц

$$\mathbf{c} = \mathbf{v} - \mathbf{u}(t, m, \mathbf{r}) , \quad (3.4)$$

которая показывает скорость (хаотического движения) частиц в системе отсчета движущейся вместе с участком кольца со скоростью  $\mathbf{u}$ . Таким образом введем понятие *гранулярной температуры* системы, по аналогии с термодинамической температурой как второй момент по скорости

$$\frac{D}{2} n T(t, m, \mathbf{r}) = \int \frac{m \mathbf{c}^2}{2} f(t, m, \mathbf{r}, \mathbf{v}) d\mathbf{v} , \quad (3.5)$$

где  $D = 3$  – для трехмерной системы, однако мы будем рассматривать двумерную систему  $D = 2$ . Нам также понадобятся и другие моменты по скорости, которые уже являются тензорными величинами. Во первых, это тензор *напряжения*:

$$\Pi_{ij}(t, m, \mathbf{r}) = m \int v_i v_j f(t, m, \mathbf{r}, \mathbf{v}) d\mathbf{v} , \quad (3.6)$$

который можно разделить на две части используя (3.4)

$$\Pi_{ij}(t, m, \mathbf{r}) = \rho u_i u_j + P_{ij} . \quad (3.7)$$

Первая часть является динамической частью тензора напряжения, а вторая часть называется тензором *внутренних напряжений*:

$$P_{ij}(t, m, \mathbf{r}) = m \int c_i c_j f(t, m, \mathbf{r}, \mathbf{v}) d\mathbf{v} . \quad (3.8)$$

Разделяя далее данный тензор на диагональную и безсверточную части, получаем:

$$P_{ij} = \delta_{ji} p_{id} + \pi_{ij} , \quad \pi_{ii} = 0 , \quad (3.9)$$

где

$$p_{id} = \frac{1}{D} \int m \mathbf{c}^2 f(t, m, \mathbf{r}, \mathbf{v}) d\mathbf{v} = n T , \quad (3.10)$$

давление идеального газа. Безсверточная часть тензора  $\pi_{ij}$  также называется тензором *вязких напряжений*.

Наконец, введем следующий тензор

$$Q_{ijk} = m \int c_i c_j c_k f(t, m, \mathbf{r}, \mathbf{v}) d\mathbf{v} , \quad (3.11)$$

или точнее его свертку по двум индексам

$$q_i = \mathbf{q} = \frac{1}{2} Q_{ijj} = \int \frac{m \mathbf{c}^2}{2} c_i f(t, m, \mathbf{r}, \mathbf{v}) d\mathbf{v} , \quad (3.12)$$

который называется вектором *потока тепла*.

### 3.2 Подсистема всякой ерунды

Культурная вставка dot-файлов через утилиту dot2tex (рис. 3.1).

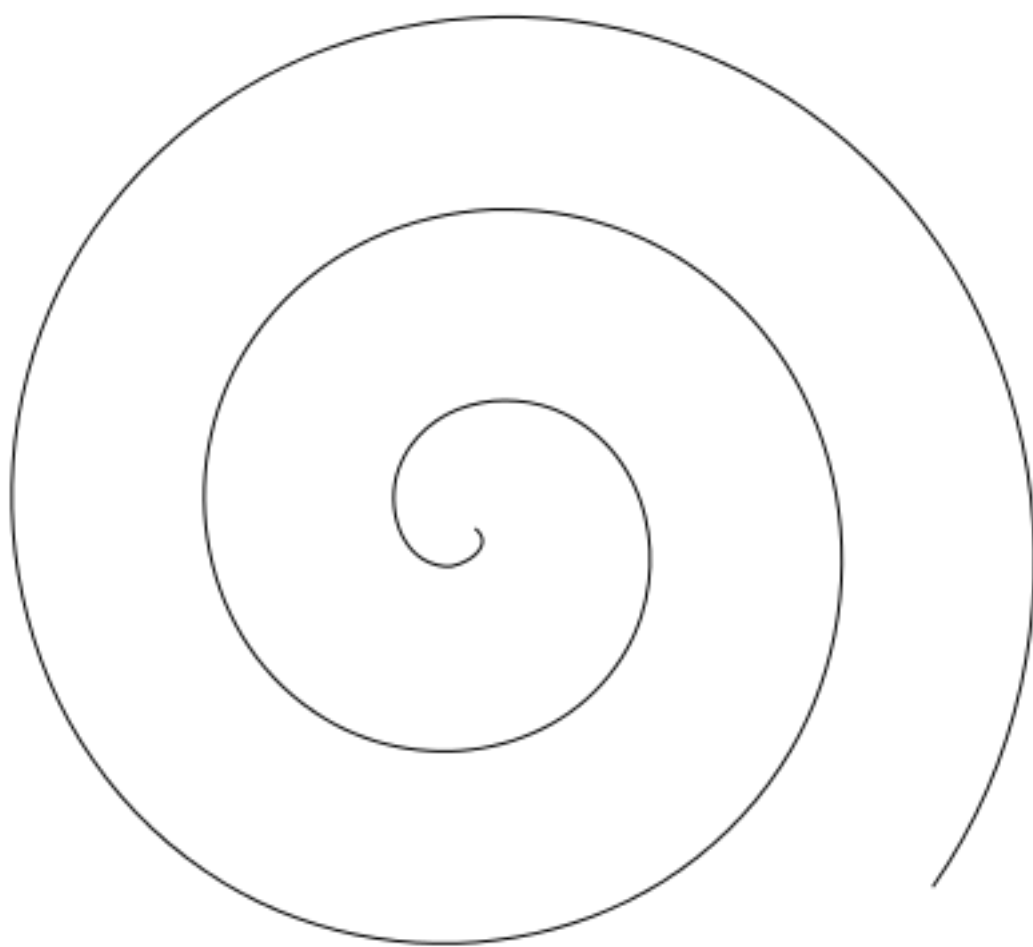


Рисунок 3.1 — Рисунок



### **3.2.1 Блок-схема всякой ерунды**

#### **Кстати о заголовках**

У нас есть и **subsubsection**. Только лучше её не нумеровать.

## 4 Технологический раздел

В данном разделе описано изготовление и требование всячины. Кстати, в LaTeX нужно эскейпить подчёркивание (писать «some\\_function» для **some\_function**).

Для вставки кода есть пакет **listings**. К сожалению, пакет **listings** всё ещё работает криво при появлении в листинге русских букв и кодировке исходников utf-8. В данном примере он (увы) на лету конвертируется в koi-8 в ходе сборки pdf.

Есть альтернатива **listingsutf8**, однако она работает лишь с **\lstinputlisting**, но не с окружением **\lstlisting**

Вот так можно вставлять псевдокод (питоноподобный язык определен в **listings.inc.tex**):

Листинг 4.1 — Алгоритм оценки дипломных работ

```
1 def EvaluateDiplomas():
2     for each student in Masters:
3         student.Mark ← 5
4     for each student in Engineers:
5         if Good(student):
6             student.Mark ← 5
7         else:
8             student.Mark ← 4
```

Еще в шаблоне определен псевдоязык для BNF:

Листинг 4.2 — Грамматика

```
1 ifstmt → "if" "(" expression ")" stmt |
2         "if" "(" expression ")" stmt1 "else" stmt2
3 number → digit digit *
```

В листинге 4.3 работают русские буквы. Сильная магия. Однако, работает только во включаемых файлах, прямо в TeX нельзя.

Листинг 4.3 — Пример (test.c)

```
1 #include <stdio.h>
2 int main()
3 {
4     return 0;
5 }
```

Можно также использовать окружение **verbatim**, если **listings** чем-то не устраивает. Только следует помнить, что табы в нём «съедаются». Существует так же команда **\verbatiminput** для вставки файла.

```
a_b = a + b; // русский комментарий
if (a_b > 0)
    a_b = 0;
```

## 5 Экспериментальный раздел

В данном разделе проводятся вычислительные эксперименты. А на рис. 5.1 показана схема мыслительного процесса автора...

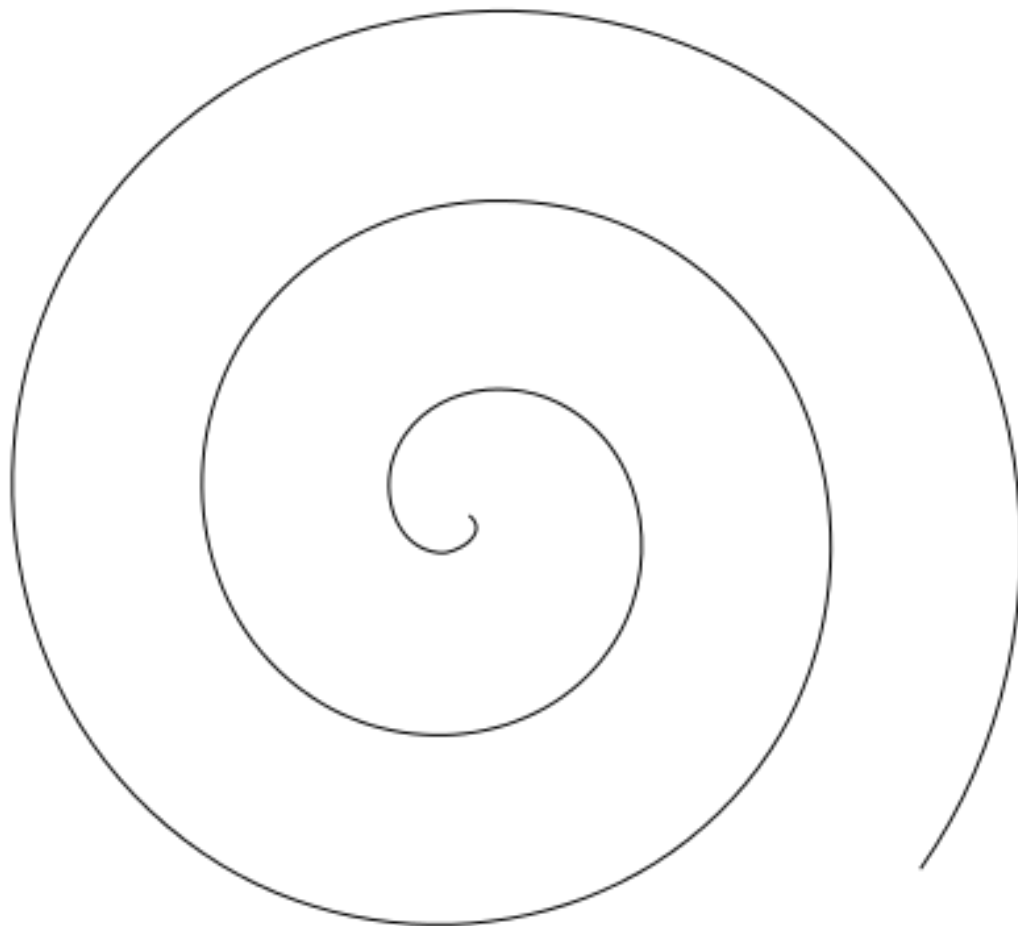


Рисунок 5.1 — Как страшно жить

## **Заключение**

В результате проделанной работы стало ясно, что ничего не ясно...

## **Список использованных источников**

1. *Brilliantov, N. V.* Kinetic Theory of Granular Gases / N. V. Brilliantov, T. Pöschel.  
— 1st edition. — Oxford University Press, 2004.

## **Приложение А    Картинки**

Рисунок А.1 — Картинка в приложении. Страшная и ужасная.

## **Приложение Б    Еще картинки**

Рисунок Б.1 — Еще одна картинка, ничем не лучше предыдущей. Но надо же как-то заполнить место.